

# O efeito memória gravitacional em ondas planas impulsivas

Palavras- chave: Relatividade Geral, Efeito memória, Ondas gravitacionais.

#### Autores:

Lais Almeida Wendland - Universidade Estadual de Campinas (UNICAMP) Prof. Dr. Ricardo Antonio Mosna (orientador) - Universidade Estadual de Campinas(UNICAMP)

## 1 Introdução

Este projeto tem como objetivo analisar como um conjunto de partículas teste é alterado após a passagem de uma onda gravitacional plana impulsiva. Verificaremos, por exemplo, se há efeito memória gravitacional. De acordo com esse efeito, a passagem de uma onda gravitacional em um sistema físico acarreta uma mudança entre o estado inicial e final desse sistema.

Consequentemente, para estudar o efeito memória não-linear envolvendo soluções exatas de ondas planas, utilizaremos as soluções nas coordenadas de Brinkmann e nas coordenadas de Rosen. Logo, a fim de definir essas coordenadas consideramos uma onda gravitacional plana exata que se propaga na direção z, sendo  $u = \frac{1}{\sqrt{2}}(z-t)$  e  $v = \frac{1}{\sqrt{2}}(t+z)^1$ , definimos as coordenadas de Brinkmann da seguinte forma

$$ds^{2} = dX^{2} + dY^{2} + 2dUdV + K(U)_{ij}x^{i}(U)x^{j}(U)dU^{2}.$$
(1)

Nesse projeto consideramos uma onda linearmente polarizada do tipo "+", logo, para as coordenadas de Brinkmann,  $K(U)_{ij}=\frac{1}{2}A(U)(X^2-Y^2)$  em que A(U) é uma função arbitrária. Mas como trataremos de ondas gravitacionais impulsivas, A(U) terá a forma  $A(U)=\alpha\delta(U)$ , sendo  $\alpha$  uma constante. Assim, a equação (1) torna-se  $ds^2=dX^2+dY^2+2dUdV+\frac{\alpha}{2}\delta(U)(X^2-Y^2)dU^2$ . Tal solução nos permite pensar na onda gravitacional como uma única frente de onda que se desloca na velocidade da luz.

Já as soluções nas coordenadas de Rosen têm a forma

$$ds^{2} = 2dudv + f(u)^{2}dx^{2} + g(u)^{2}dy^{2}.^{2}$$
(2)

Para as coordenadas de Rosen, f(u) e g(u) têm que obedecer a expressão  $\frac{1}{2}A(U) = \frac{f''(u)}{f} = -\frac{g''(u)}{g}^3$ .

# 2 Metodologia

Para podermos definir como se comportam as partículas teste após a passagem de uma onda gravitacional utilizamos o fato que partículas livres no espaço-tempo seguem geodésicas. Logo, podemos calcular as equações da geodésica para as coordenadas Brinkmann e Rosen citadas acima.

Assim sendo, das soluções nas coordenadas de Rosen (2), uma possível expressão para a geodésica de uma partícula livre inicialmente em repouso é descrita nas expressões (3), em que  $x_0$  e  $y_0$  são as condições iniciais e a e b são constantes; além disso,  $\lambda$  é o parâmetro afim utilizado. Observa-se que para partículas inicialmente em repouso, nas coordenadas de Rosen, mesmo após passar pela onda gravitacional as partículas continuam

<sup>&</sup>lt;sup>1</sup>Usaremos a convenção c=1.

<sup>&</sup>lt;sup>2</sup>Faremos distinção das coordenadas pelo uso da letra maiúscula, no caso das coordenadas de Brinkmann e minúscula para as coordenadas de Rosen.

<sup>&</sup>lt;sup>3</sup>A notação utilizada é  $\frac{df}{du} = f'(u)$ .

em repouso. Mostraremos que isso não está correto na próxima seção e advém do fato de que as coordenadas de Rosen possuem singularidades de coordenada.

$$\begin{cases} x(u) = x_0, \\ y(u) = y_0, \\ U = \lambda, \\ v(u) = a\lambda + b. \end{cases}$$

$$(3)$$

Já para encontrar as geodésicas nas coordenadas de Brinkmann podemos usar as relações entre as soluções nas coordenadas Brinkmann e Rosen, mostradas em (4), e as equações da geodésica nas coordenadas Rosen em (3), o que resulta nas equações (5),(6) e (7). Assim, pela métrica de Brinkmann não possuir singularidades estudaremos o comportamento das partículas através dessas coordenadas. Solucionando as equações (5),(6) e (7), obtemos X(U), Y(U), V(U), e assim determina-se as velocidades e a energia cinética de partículas teste nessas coordenadas.

$$\begin{cases}
X(u) = f(u)x(u), \\
Y(u) = g(u)y(u), \\
U = u, \\
V(u) = v(u) - \frac{1}{2}x(u)^{2}f(u)f'(u) - \frac{1}{2}y(u)^{2}g(u)g'(u).
\end{cases} (4)$$

$$X''(U) = \frac{1}{2}A(U)X(U),$$
 (5)

$$Y''(U) = -\frac{1}{2}A(U)Y(U),$$
(6)

$$V''(U) + \frac{1}{4}A'(U)(X(U)^2 - Y(U)^2) + A(U)(X(U)X'(U) - Y(U)Y'(U)) = 0.$$
 (7)

As equações (5),(6) e (7) podem ser resolvidas analiticamente no caso em que a partícula encontra-se inicialmente em repouso e também numericamente. Para isso fizemos uso do software Wolfram Mathematica.

Analiticamente, para uma partícula livre em que há passagem de uma onda gravitacional da forma  $ds^2 = dX^2 + dY^2 + 2dUdV + \frac{1}{2}\alpha\delta(U)(X^2 - Y^2)dU^2$ , ou seja, uma onda impulsiva que é "sentida" pela partícula em U=0, podemos resolver a equação (5) a partir da equação (8):

$$\lim_{\epsilon \to 0} \int_{-\epsilon}^{\epsilon} X''(U) dU = \lim_{\epsilon \to 0} \int_{-\epsilon}^{\epsilon} \frac{\alpha}{2} \delta(U) X(U) dU :$$
 (8)

O que resulta na equação 9:

$$X'(0^+) - X'(0^-) = \frac{\alpha}{2}X(0). \tag{9}$$

Logo, com a partícula inicialmente em repouso, temos

$$X(U) = \begin{cases} k, & \text{se } U < 0, \\ \frac{\alpha}{2}kU + k, & \text{se } U > 0. \end{cases}$$
 (10)

Fazendo o mesmo procedimento com a equação (6) para uma partícula inicialmente em repouso, obtemos:

$$Y(U) = \begin{cases} \beta, & \text{se } U < 0, \\ -\frac{\alpha}{2}\beta U + \beta, & \text{se } U > 0. \end{cases}$$
 (11)

Já na solução numérica, devido às limitações do software, para resolver a equação (7) torna-se necessário aproximar a função Delta de Dirac por  $\delta(U) = \lim_{\sigma \to 0} \frac{1}{\sigma \sqrt{2\pi}} e^{\frac{-U^2}{2\sigma^2}}$ , assim, utilizamos o perfil de onda gaussiano  $A(U) = \frac{1}{\sigma \sqrt{2\pi}} e^{\frac{-U^2}{2\sigma^2}}$  manipulando os possíveis valores de  $\sigma$  de forma a deixá-lo pequeno suficiente para que seja possível fazer um comparativo com uma onda plana impulsiva.

### 3 Resultados e Discussão

Primeiramente, analisamos como um conjunto de partículas se comporta nos eixos X e Y com a passagem de ondas com perfis gaussianos e perfil de uma onda plana impulsiva, utilizamos as condições iniciais  $X(U_i) = 0, 1, 2, 3, 4, 5, U_i = -5$  e  $Y(U_i) = 0, 1, 2, 3, 4, 5, U_i = -5$  para uma partícula inicialmente em repouso. Abaixo estão expostos os resultados tanto diminuindo sigma, quanto no caso em que  $A(U) = \delta(U)$  de (1), como pode ser visto nas Figuras 1 e 2 para o eixo X e Figuras 3 e 4 para o eixo Y.

Vemos o seguinte padrão conforme a gaussiana se aproxima de uma função delta de Dirac. Após a passagem da onda, tanto para X(U) quanto para Y(U), há uma mudança brusca na trajetória das partículas em U=0. As partículas que estavam paralelamente distantes entre si, após a passagem de uma onda impulsiva, no eixo Y focalizam-se e após se afastam, mas no eixo X afastam-se continuamente a partir de U=0, exceto no caso em que das equações (10) e (11), k=0 e  $\beta=0$ , que corresponde ao caso em que  $X^2=Y^2$ . Além disso, das equações (10) e (11) vemos que partículas inicialmente paradas adquirem velocidade após a passagem da onda gravitacional. Portanto, observa-se o efeito memória gravitacional para as trajetórias das partículas.

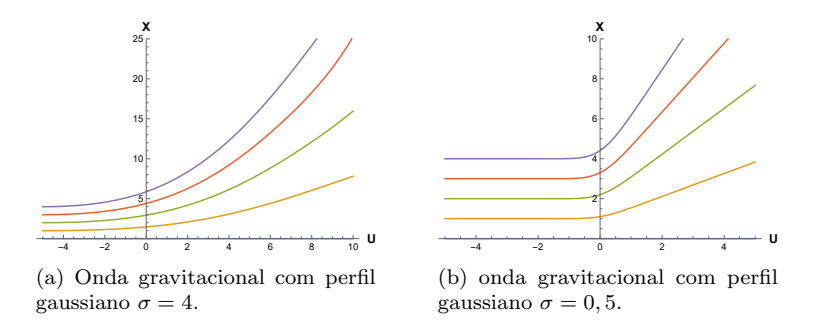


Figura 1: X(U) nas Coordenadas de Brinkmann para partículas inicialmente em repouso, onda gravitacional com perfil gaussiano  $\sigma=4$  e  $\sigma=0,5$  e condições iniciais X(-5)=0,1,2,3,4,5.

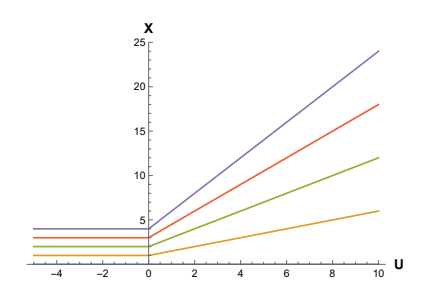


Figura 2: X(U) nas Coordenadas de Brinkmann para partículas inicialmente em repouso, onda gravitacional impulsiva, ou seja, com  $A(U) = \delta(U)$  e condições iniciais  $X(-5) = 0, 1, 2, 3, 4, 5, U_i < 0$ .

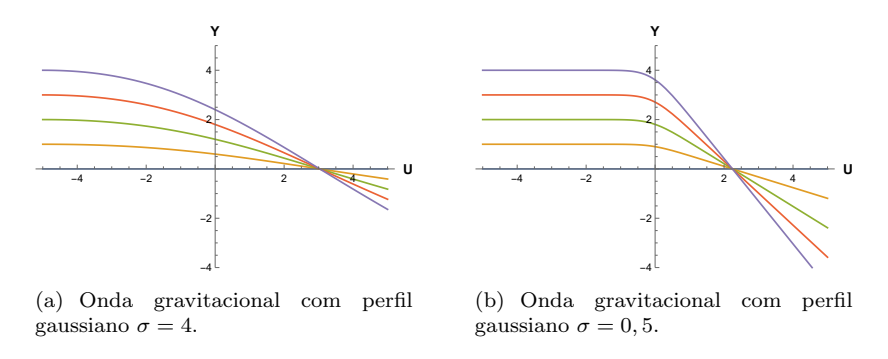


Figura 3: Y(U) nas Coordenadas de Brinkmann para partículas inicialmente em repouso, onda gravitacional com perfil gaussiano  $\sigma = 4$  e  $\sigma = 0, 5$  e condições iniciais  $Y(U_i) = 0, 1, 2, 3, 4, 5, U_i < 0$ .

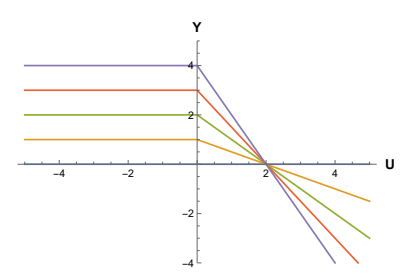


Figura 4: Y(U) nas Coordenadas de Brinkmann para partículas inicialmente em repouso, onda gravitacional impulsiva, ou seja, com  $A(U) = \delta(U)$  e condições iniciais  $Y(U_i) = 0, 1, 2, 3, 4, 5, U_i < 0$ .

Como mostrado anteriormente, segundo as coordenadas de Rosen as partículas estão em repouso após a passagem da onda, mas considerando as coordenadas de Brinkmann não é isso que ocorre. Isso pode ser explicado pelo fato de que as coordenadas de Rosen apresentam uma singularidade em U>0, pois como observa-se na Figura 4 as partículas são focalizadas em Y(U)=0 e das relações entre as coordenadas de Brinkmann e Rosen temos que Y(u)=g(u)y(u). Assim necessariamente g(U)=0, o que é uma singularidade de coordenadas na métrica de Rosen.

Ademais, questionamos se a partir dos resultados de X(U) nas figuras acima seria possível após a passagem de uma onda gravitacional plana impulsiva aplicarmos outra de forma que as partículas ficassem novamente paralelas entre si em X(U). Assim sendo, com  $A(U) = (\delta(U) - \alpha\delta(U-a)), a > 0$ , nas condições em que  $a = 2(\frac{1}{\alpha} - 1), 1 < \alpha < 0$  encontramos que as partículas de fato voltam a ficar paralelas entre si, mas apenas no eixo X. Entretanto, elas obtém uma separação relativa maior que no início. Assim, utilizando  $\alpha = 0, 5$  em  $a = 2(\frac{1}{\alpha} - 1)$  vemos que, de fato, as partículas voltam ao respouso no eixo X, Figura 5.

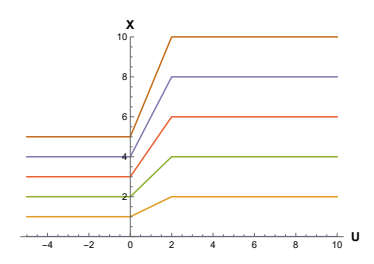


Figura 5: X(U) para onda gravitacional com perfil  $A(U) = (\delta(U) - \alpha\delta(U - a)), a = 2, \alpha = 0, 5.$ 

Após isso, analisamos como uma onda plana impulsiva pode alterar a energia cinética de um sistema composto por uma partícula teste livre. Para tal, fizemos uso da solução numérica das equações (5), (6), (7) utilizando o perfil de onda gaussiano. Obtivemos, para diferentes condições iniciais, a trajetória de uma partícula em função de U e por conseguinte as velocidades em função de V, bem como a energia cinética por unidade de massa do sistema em função do tempo V, ou seja, V =

Constata-se também que utilizando outras condições iniciais obtemos resultados diferentes. Por exemplo, se X(-5) = 5, X'(-5) = 0.2, Y(-5) = 5, Y'(-5) = 0, V(-5) = 0, V'(-5) = 0 vemos que a energia cinética após a passagem da onda é maior que a inicial, Figura 9. Já para a condição inicial X(-5) = 5, X'(-5) = 0, Y(-5) = 5, Y'(-5) = 0, V(-5) = 0, V'(-5) = 0, Figura 10, conforme diminui-se  $\sigma$ , a energia cinética final, após a passagem da onda, é igual à energia cinética inicial, ou seja, a energia para um tempo antes da partícula entar em "contato" com a onda gravitacional. Logo, podemos concluir que para uma onda gravitacional plana impulsiva ocorre uma variação abrupta na energia cinética na região da onda tanto para a partículas inicialmente em repouso, quanto em movimento. Além disso, a energia cinética pode voltar ao seu valor inicial após a passagem da onda ou variar positiva ou negativamente.

Portanto, concluímos que ocorre efeito de memória gravitacional no sistema, já que as trajetórias e velocidades das partículas são alteradas. Ademais, vimos que a energia cinética de uma partícula pode aumentar, diminuir ou não sofrer variação em relação à energia cinética inicial e final, após a propagação da onda.

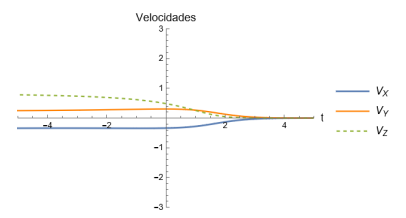


Figura 6: Velocidades  $V_X, V_Y, V_Z$  em fução do tempo de uma partícula que passa por uma onda gravitacional com perfil gaussiano  $\sigma = 1$  com condições iniciais X(-5) = 5, X'(-5) = 0, Y(-5) = 0, Y'(-5) = 0, V(-5) = 5, V'(-5) = -1.

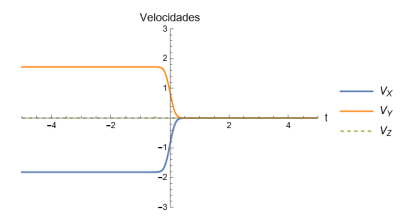


Figura 7: Velocidades  $V_X, V_Y, V_Z$  em fução do tempo de uma partícula que passa por uma onda gravitacional com perfil gaussiano  $\sigma = 0, 1$  com condições iniciais X(-5) = 5, X'(-5) = 0, Y(-5) = 0, Y'(-5) = 0, V'(-5) = 0, Y'(-5) =

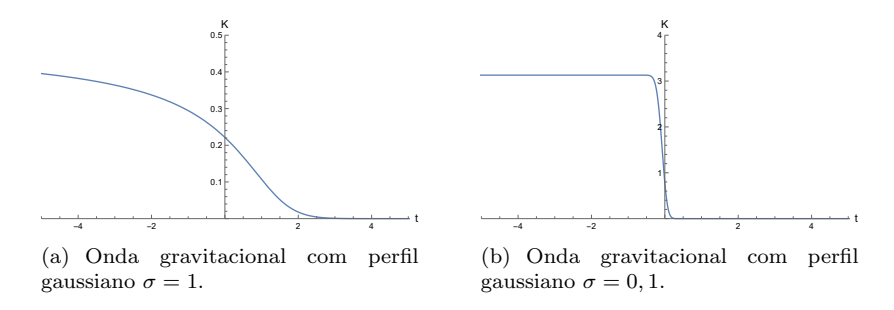


Figura 8: Energia cinética total em função do tempo para uma onda gravitacional com perfis gaussianos  $\sigma = 1$  e  $\sigma = 0, 1$ , com condições iniciais X(-5) = 5, X'(-5) = 0, Y(-5) = 0, Y'(-5) = 0, V'(-5) = 5, V'(-5) = -1.

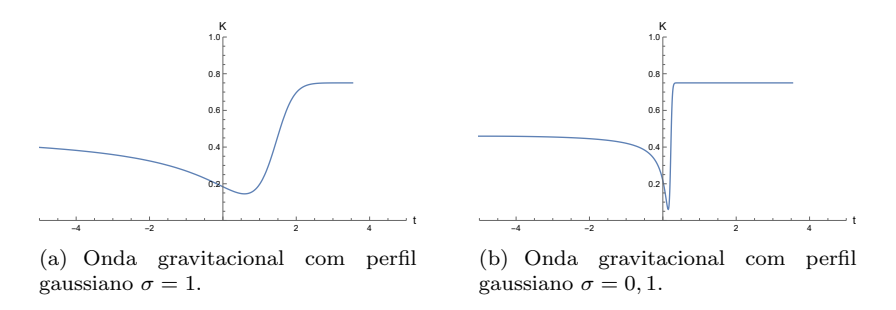


Figura 9: Energia cinética de uma partícula que passa por uma onda gravitacional com perfis gaussianos  $\sigma=1$  e  $\sigma=0,1$  para condições iniciais X(-5)=5, X'(-5)=0.5, Y(-5)=5, Y(-5)=0, V(-5)=0, V'(-5)=0.

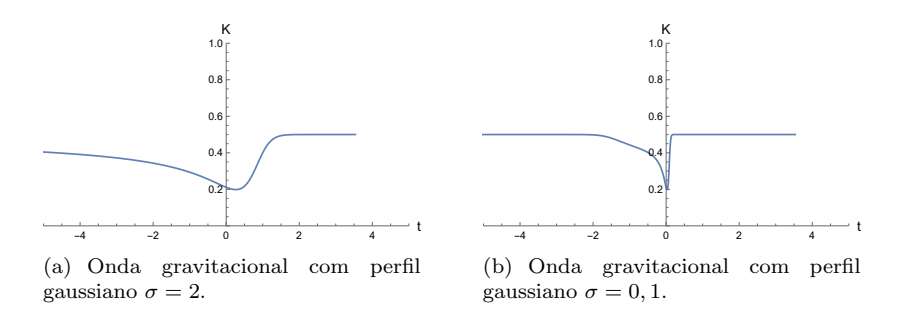


Figura 10: Energia cinética de uma partícula que passa por uma onda gravitacional com perfis gaussianos  $\sigma = 1$  e  $\sigma = 0, 1$  para condições iniciais X(-5) = 5, X'(-5) = 0, Y(-5) = 5, Y(-5) = 0, V(-5) = 0, V'(-5) = 0.

## Referências

- [1] Hans Stephani. Relativity: An Introduction to Special and General Relativity. Cambridge University Press, 3rd edition, 2004.
- [2] Ray D'Inverno. Introducing Einstein's Relativity. Clarendon Press, 1992.
- [3] P-M Zhang, Christian Duval, GW Gibbons, and PA Horvathy. The memory effect for plane gravitational waves. *Physics Letters B*, 772:743–746, 2017.